

UNIVERSIDADE DE SÃO PAULO

INSTITUTO OCEANOGRÁFICO

DISCIPLINA: IOF-5851 OCEANOGRAFIA REGIONAL

PROFESSORES: ILSON CARLOS ALMEIDA DA SILVEIRA

SUELI SUSANA DE GODOI

EMENTA – Oceanografia Regional

ANO LETIVO DE 2006

1. Introdução às Forçantes da Circulação Oceânica

1.1 Mecanismos geradores de correntes: as forçantes do oceano

1.2 Apresentação da forçante mecânica dos oceanos: a tensão de cisalhamento do vento

1.3 A circulação termohalina: resultado da forçante termodinâmica

2. Forçamento Mecânico da Circulação Oceânica

2.2 A importância da força de Coriolis, geostrofia, ajustamento geostrófico e intensificação da borda oeste

2.3 Efeito do atrito, Transporte e Bombeamento de Ekman

2.4 Balanço de Sverdrup, Efeito dinâmico da topografia

2.5 A Intensificação da borda oeste à luz da conservação de vorticidade potencial

3. Formação e Composição das Massas de Água

3.1 Elementos da Termodinâmica da Água do Mar

3.2 O diagrama T-S e suas propriedades, Massas de Água e Águas Tipo

3.3 Teoria analítica das curvas T-S

3.4 O Diagrama T-S estatístico volumétrico

3.5 Subdução e Processos de diapiriais: formação das águas centrais

Prova →

4. Oceanografia Polar

4.1 Oceanografia Antártica

4.2 Oceanografia Ártica: a Água Profunda do Atlântico Norte

5. O Oceano Atlântico

5.1 Características Físicas e Regime de Ventos

5.2 O sistema de Correntes Equatoriais de Superfície

5.3 As subcorrentes do Oceano Atlântico Tropical

5.4 As Correntes do Contorno Oeste de Médias e Baixas Latitudes

5.5 Hidrologia do Oceano Atlântico

5.6 A Corrente Profunda do Oceano Atlântico

5.7 A Célula de Revolvimento Meridional

5.8 Relações Trópico-Extra-trópico

5.9 Mares adjacentes

Livros Textos:

1. Tomczak, M. & Godfrey, J.S., Regional Ocenaography: An Introduction, Pergamon Press, 422pp., 1994.

Disponível para “download”, sem custos, da rede pelo endereço:

<http://www.es.flinders.edu.au/mattom/regoc/figlist.html>.

2. Cushman-Roisin, B. Introduction to Geophysical Fluid Dynamics, Prentice Hall, 320pp., 1994.
3. Abarbanel, H.D. & Young, W.R., General Circulation of the Ocean, Springer-Verlag, 291, 1986.
4. Apel, J. R. Principles of Ocean Physics, Academic Press, 634pp., 1995.
5. Open University, Ocean Circulation, Pergamon Press, 238pp., 1993.
6. Open University, Seawater: Its Composition, Properties and Behaviour, Pergamon Press, 238pp., 1993.

Dias de aula:

Terças-Quintas-9:00-12:00

Avaliação:

2 listas	40%
2 provas	40%
Seminário	20%

OCEANOGRAPHIA REGIONAL

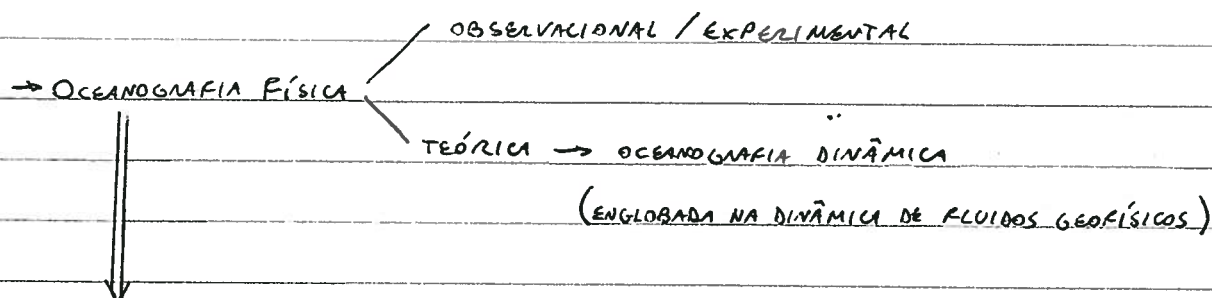
20/06/2006

PROF. ILSON

PROF. SUELI

1ª Aula

DEFINIÇÃO: ASPECTOS REGIONAIS RELACIONADOS À OCEANOGRAPHIA FÍSICA.



MECÂNICA DE FLUIDOS

APLICADA AO FLUIDO OCEANO \Rightarrow EQUAÇÕES HIDRODINÂMICAS \Rightarrow CONDIÇÕES DE CONTOURNO

OCEANO

EQUAÇÕES PARCIAIS, DIFERENCIAIS,

NÃO LINEARES E PRECISAM DE CONDIÇÕES DE CONTOURNO PARA SEREM RESOLVIDAS.

EQUAÇÃO DO MOVIMENTO

$$\vec{a} = \frac{\vec{F}}{m}$$

$$\frac{D\vec{v}}{Dt} = \frac{\vec{F}}{m}$$

$$\frac{1}{\rho} \frac{D\rho}{Dt} + \nabla \cdot \vec{v} = K_p \nabla^2 \rho \rightarrow \text{EQ. CONSERVAÇÃO DE MASSA}$$

$$\frac{DT}{Dt} = K_T \nabla^2 T \rightarrow \text{EQ. CONSERVAÇÃO DE CALOR}$$

$$\frac{DS}{Dt} = K_S \nabla^2 S \rightarrow \text{EQ. CONSERVAÇÃO DE SAL}$$

20/06/2006

u, v, w, p, T, S

PARA RESOLUÇÃO DO SISTEMA HIDRODINÂMICO É NECESSÁRIO O ESTABELECIMENTO DE CONDIÇÕES DE CONTOURNO E DOS TERMOS FORÇANTES OCEÂNICOS.

OCEANOGRÁFIA REGIONAL



CONDIÇÕES DE CONTOURNO

- CARACTERIZAM A REGIONALIDADE DO OCEANO

[TOPOGRAFIA]

- ASPECTOS REGIONAIS DA DINÂMICA DE UMA DETERMINADA PORÇÃO DO OCEANO

FORÇANTES OCEÂNICAS

MECÂNICA

TERMODINÂMICA

(AÇÃO DA TENSÃO DE CISALHAMENTO

(FLUXOS DE MASSAS, FLUXOS AR-MAR).

DO VENTO SOBRE A SUPERF. DO OCEANO)

FORÇANTE MECÂNICA

→ É ESSENCIALMENTE O VENTO



AÇÃO DA TENSÃO DE CISALHAMENTO DO VENTO, QUE SE RELACIONA COM A VELOCIDADE DO VENTO, COM UMA LEI EMPÍRICA.

$$\vec{\tau} = \rho_{\text{ar}} C_D |\vec{v}_{\text{ar}}| \vec{v}_{\text{ar}}$$

$$\tau^{(x)} = \rho_{\text{ar}} C_D |\vec{v}_{\text{ar}}| u$$

$C_D \equiv$ COEFICIENTE DE ARRASTO

→ LAZAR E POND (7)

$$\tau^{(y)} = \rho_{\text{ar}} C_D |\vec{v}_{\text{ar}}| v$$

tilibra

20/06/2006

FIGURA COM DISTRIBUIÇÃO DA TENSÃO DE CISCALHAMENTO DO VENTO, EM P_a ANUAL / JUN-AGO / DEZ-FEV

ALTA SUBTROPICAL DO ATLÂNTICO SUL, CENTRADO NA LAT. $30^\circ S$

ALTA SUBTROPICAL DO ATLÂNTICO NORTE

MIGRA PARA UM POLO

CINTURÃO DE VENTOS OESTE

MIS AO SUL DE DEZ-FEV

A RELAÇÃO DE TRANSFERÊNCIA DE MOMENTO ENTRE A ATMOSFERA E O OCEANO É NÃO LINEAR, É QUADRÁTICO, OU SEJA, UM VENTO FORTE ATRAVESSA UMA TRANSFERÊNCIA DE MOMENTO MUITO MAIS INTENSA DO QUE O VENTO FRACO PORQUE TEM O FATOR QUADRÁTICO.

LER CIRCULAÇÃO DE POND E PICKARD

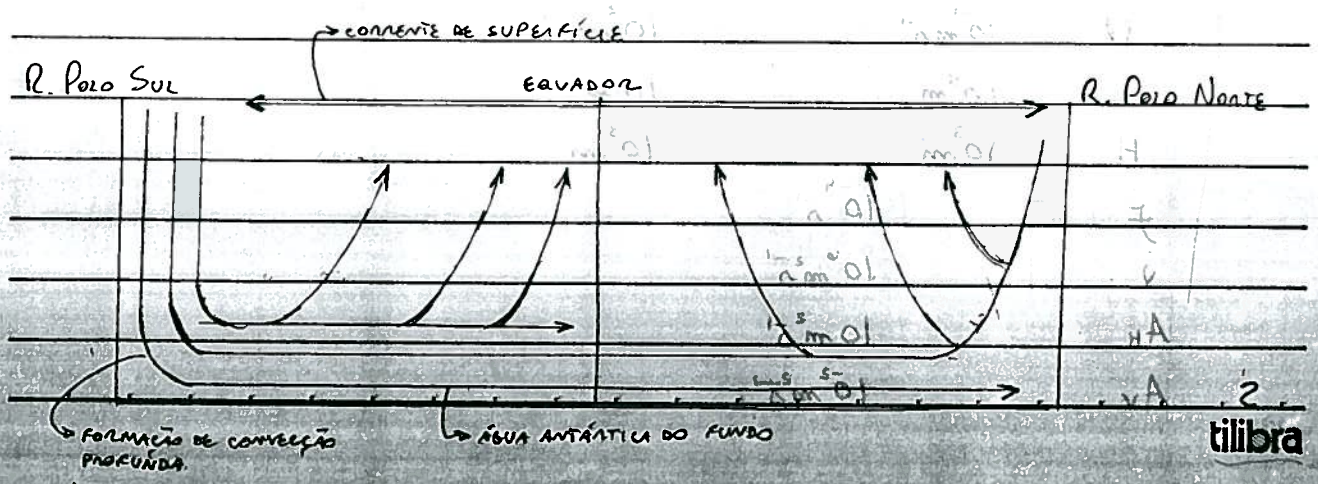
ESTUDAREMOS OS SISTEMAS DE RESURGÊNCIAS ASSOCIADOS ÀS CORRENTES DE CONTOURNO LESTE. HÁ UM ASPECTO DIFERENCIADO NA RESPOSTA DO OCEANO NAS BONDAS LESTE E OESTE.

FORÇANTE TERMODINÂMICA



FLUXOS DE MASSAS

CIRCULAÇÃO TERMOMALINA



20/06/2006

NA REGIÃO POLAR A ESTRATIFICAÇÃO É FINCA.

A CIRCULAÇÃO TERMOHALINA DEPENDE DO FLUXO DE MASSAS ASSOCIADOS AOS POLOS.

PARA ENTENDER A FORÇA DE TERMODINÂMICA DEVEMOS CONSIDERAR O PROCESSO DE FORMAR DE MASSAS DE ÁGUA; EM ÚLTIMA ANÁLISE REPRESENTAM OS INFLUXOS DO OCEANO.

CINTURÃO TERMOHALINO DE CIRCULAÇÃO MUNDIAL: QUANDO A ÁGUA AFLOTA E DÁ O ATUAL CONTORNO, O ATLÂNTICO ESTÁ PERDENDO MASSA E PRECISA DE MASSA DE OUTROS OCEANOS PARA COMPLETAR.

Forçamento Mecânico da Circulação Oceânica

• COMPONENTE ZONAL SOB AS APROX. TRADICIONAL, BOUSSINESQ E DO PLANO B.

$$\underbrace{\frac{\partial u}{\partial t} + u \frac{\partial u}{\partial x} + v \frac{\partial u}{\partial y} + w \frac{\partial u}{\partial z}}_{\text{aceleração local + advecção}} \underbrace{- f v = -\frac{1}{\rho} \frac{\partial p}{\partial x}}_{\text{BALANÇO DOMINANTE NO OCEANO, BALANÇO GEOSTAÓRICO}} + \underbrace{\nu \nabla^2 u + A_H \nabla_H^2 u + A_V \frac{\partial^2 u}{\partial z^2}}_{\text{VISC. TURBULENTO HORIZ. E VERT., FORÇA DE VISC. MOLECULAR}}$$

ESCALAS: MESO GRANDE

vel. horizontal U $10^{-1} m s^{-1}$ $10^{-2} m s^{-1}$

comprimento L $10^5 m$ $10^6 m$

profundidade H $10^3 m$ $10^3 m$

frequência inercial f $10^{-4} s^{-1}$

ν $10^{-6} m^2 s^{-1}$

A_H $10 m^2 s^{-1}$

A_V $10^{-2} m^2 s^{-1}$

tilibra

20 / 06 / 2006

NO DESENHO HÁ UMA ISOTAXA PLÁ HORIZONTAL MUITO GRANDE E UMA VARIAÇÃO VERTICAL MUITO ACENTUADA.

ESCALA DE TEMPO DEFINIDA COMO $T = \frac{L}{U}$

$$\nabla \cdot \vec{v} = \frac{\partial u}{\partial x} + \frac{\partial v}{\partial y} + \frac{\partial w}{\partial z} = 0$$

f (MÉDIA DE ASPECTO)

$$\frac{U}{L} = \frac{W}{H} \Rightarrow W = \left(\frac{H}{L} \right) U$$

ESCALA DA VEL. HORIZONTAL

ESCALA DA VELOC. VERTICAL

$$W_{\text{MESO}} = \frac{10^3}{10^5} \cdot 10^{-1} = 10^{-3} \text{ m s}^{-1}$$

VELOCIDADE VERTICAL CARACTERÍSTICA PARA MESO ESCALA, OU SEJA, A VELOCIDADE SERIA 100 VEZES MENOR QUE A VELOCIDADE HORIZONTAL.

$$W_{\text{GRANDE}} = \frac{10^3}{10^6} \cdot 10^{-2} = 10^{-5} \text{ m s}^{-1} \Rightarrow \text{VELOC. VERTICAL EM GRANDE ESCALA}$$

$$\epsilon = \frac{\frac{\partial u}{\partial t}}{FV} = \frac{\frac{U}{T}}{FU} = \frac{\frac{U^2}{L}}{FU} = \frac{U}{FL} = \frac{10^{-1}}{10^4 \cdot 10^5} = 10^{-2} \ll 1$$

EM MESO ESCALA

ANÁLISE DE $\frac{\partial u}{\partial t} + u \frac{\partial u}{\partial x} + v \frac{\partial u}{\partial y} + w \frac{\partial u}{\partial z}$

ANÁLISE DE $\nabla^2 u$:

$$\frac{\nabla^2 u}{F_u} = \frac{\frac{U}{L^2}}{FU} = \frac{U}{FL^2} = \frac{10^{-6}}{10^4 \cdot 10^6} = 10^{-8}$$

20/06/2006

ANÁLISE DE $A_H \nabla_H^2 u$:

É MUITO MAIOR QUE O TERMO ANTERIOR (10^8) MAS AINDA É MUITO MENOR QUE CETERIS

$$E_H = \frac{A_H \nabla_H^2 u}{f v} = \frac{A_H \frac{U}{L^2}}{f U} = \frac{A_H}{f L^2} = \frac{10}{10^4 \cdot 10^{10}} = 10^{-5} \ll 1$$

ANÁLISE DE $A_V \frac{\partial^2 u}{\partial z^2}$:

$$E_V = \frac{A_V \frac{\partial^2 u}{\partial z^2}}{f v} = \frac{A_V \frac{U}{H^2}}{f U} = \frac{A_V}{f H^2} = \frac{10^{-2}}{10^4 \cdot 10^6} = 10^{-9} \ll 1$$

A ESCALA CARACTERÍSTICA BAROTRÓPICA É A PROFUNDIDADE DOS OCEANOS (PROF. MÉDIA DE 3.300m). NO OCEANO, EM LATITUDES MÉDIAS, A PROF. DA PIGNOCLINA É DA ORDEM DE 800 A 1000m. NOS TROPICOS A PIGNOCLINA PERMANENTE SE TORNA MAIS rasa (PROF. DE 10^2) E SE FUNDE COM A PIGNOCLINA SAZONAL.

ESTADO BÁSICO DO OCEANO EM MESO E GRANDE ESCALAS É DADO:

$$f v = -\frac{1}{\rho} \frac{\partial \tilde{p}}{\partial x} \Rightarrow \tilde{p} = \frac{1}{f} \rho U L$$

$$f u = -\frac{1}{\rho} \frac{\partial \tilde{p}}{\partial y}$$

$$\tilde{p}_z = -\frac{\partial \tilde{p}}{\partial z}$$

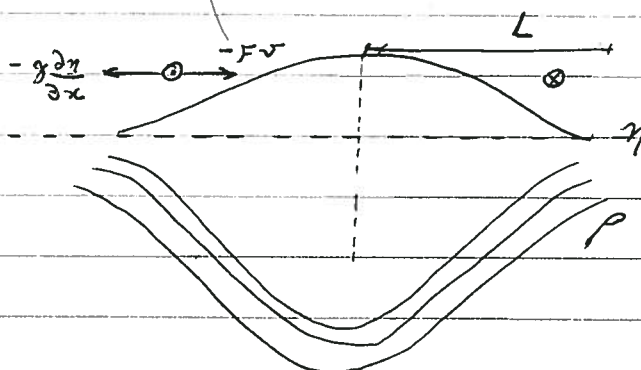
O MOVIMENTO GEOSTRÓFICO É O MOVIMENTO DO ESTADO BÁSICO DO OCEANO EM MESO E GRANDE ESCALAS

20/06/2006

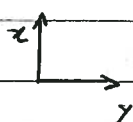


QUAL A CIRCULAÇÃO GEOSTRÓFICA ASSOCIADA A ESTE MOV. DE

→ CORRIOLIS ESTÁ SEMPRE À ESQUERDA DO MOV. NO HS.
A CIRCULAÇÃO, ENTÃO, SAÍ DA INÍCIA?



$$-\frac{1}{\rho} \frac{\partial \tilde{p}}{\partial x} = -g \frac{\partial \eta}{\partial x}$$



O QUE GEROU O MOV. DE ÁGUA?

PELA RELAÇÃO DEGENERATIVA GEOSTRÓFICA. A RELAÇÃO GEOSTRÓFICA É PURAMENTE DIAGNÓSTICA. ELA DIZ O BALANÇO DOMINANTE QUE ESTÁ ACONTECENDO, MAS NÃO DÁ NENHUMA INFORMAÇÃO DE COMO AQUILO SURTIU, SE SUSTENTA OU SE MANTÉM.

A IMPORTÂNCIA DO TÍPICO

$$E_v = \frac{A_v}{F H^2} = 10^{-4} \quad (\text{VISTO ANTERIORMENTE})$$

→ $E_v = \text{N}^\circ \text{ DE EKMAN VERTICAL}$

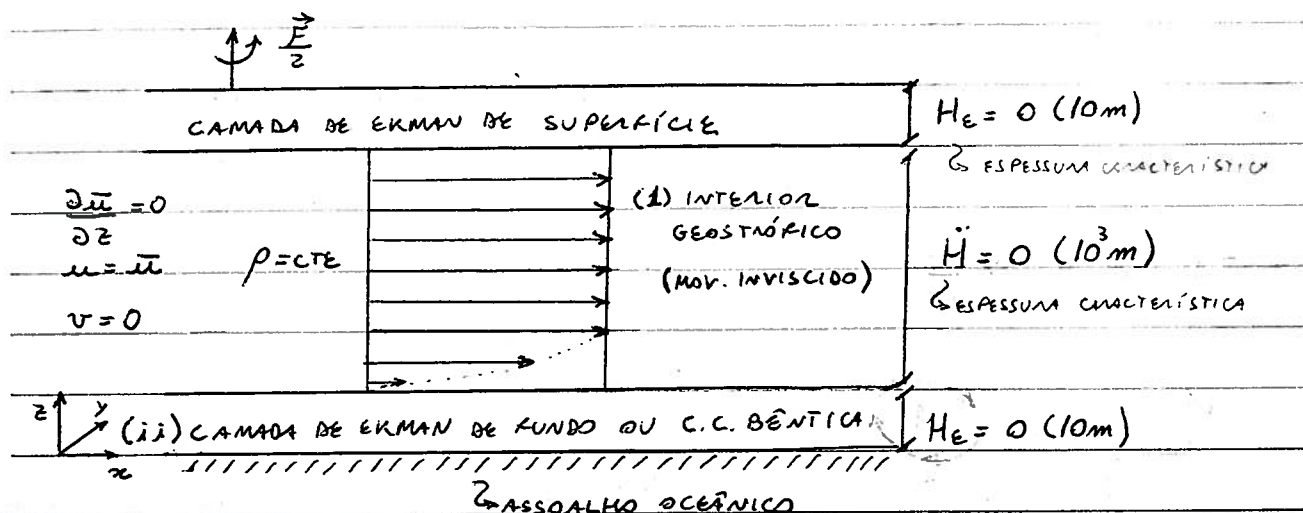
SE DESSEJARMOS $E_v = O(1)$, É NECESSÁRIO QUE $H^2 = \frac{A_v}{F} \Leftrightarrow$

$$\Leftrightarrow H_e = \sqrt{\frac{A_v}{F}} = \sqrt{10^2} = O(10m)$$

20 06 2006

CONCEITO DE CAMADA LIMITE.

MODELO DE TRÊS CAMADAS "DINÂMICAS" DO OCEANO EM MESO E GRANDE ESCALAS.



CARACTERÍSTICA SINGULAR DA DINÂMICA DE FLUIDOS GEOSTÓFICOS:

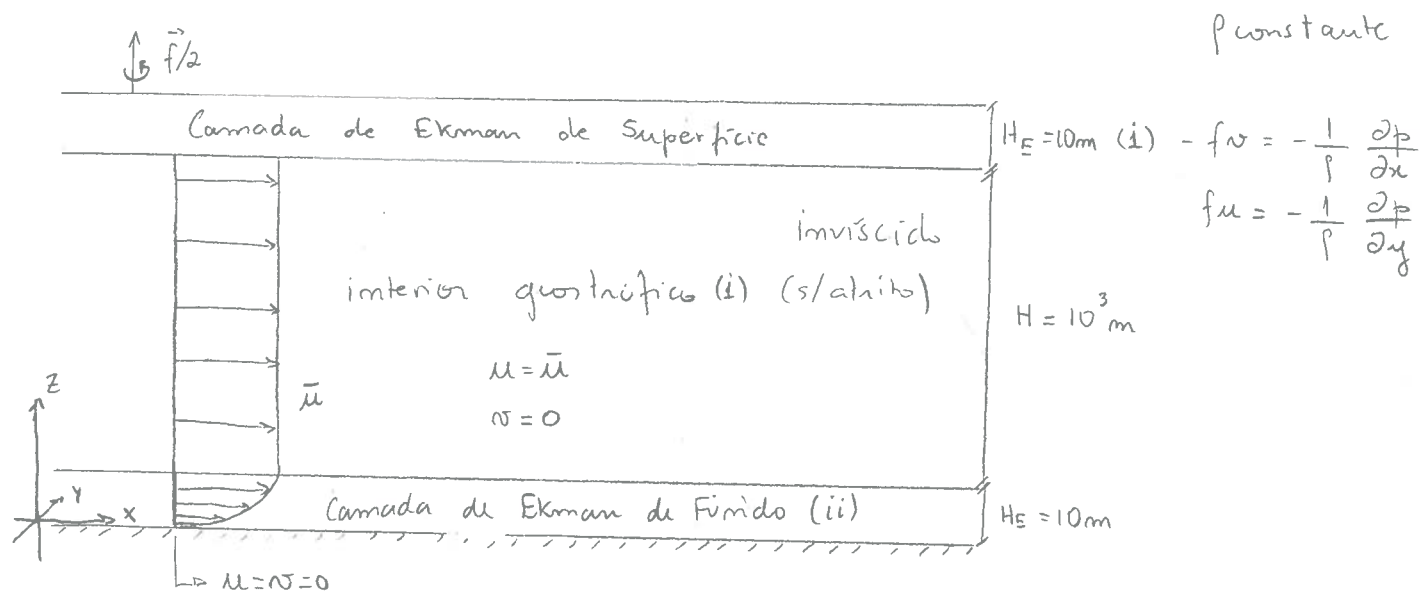
ESTABELECIMENTO DE UMA ESPESSURA PREFERENCIAL DAS CAMADAS LÍMITES, QUE É DEPENDENTE DA VELOCIDADE ANGULAR.

O VENTO SOPRA NA SUPERFÍCIE DO OCEANO, COLOCA EM MOVIMENTO, FAZ O SPIN UP DO MOV. GEOSTÓFICO, ATINGE UM ESTADO DE QUASE EQUILÍBRIO, E UMA VEZ QUE HÁ INPUT DE MOV., HÁ INPUT DE ENERGIA; PARA QUE A ENERGIA SE CONSERVE É NECESSÁRIO RETIRAR ENERGIA E ENTÃO HÁ SPIN DOWN NO OCEANO ATRAVÉS DO FUNDO, OU SEJA, A ATMOSFERA COLOCA ENERGIA MECÂNICA NO OCEANO ATRAVÉS DA TENSÃO DE CISCALHAMENTO DO VENTO E A CAMADA DE EKMAN DO FUNDO VAI REMOVER.

A MÉDIA DA TENSÃO DE CISCALHAMENTO DO VENTO, KALLA DE PONTO A PONTO NO OCEANO, QUE ACABETA DIFERENÇAS DO GRADIENTE DE PRESSÃO DE PONTO A PONTO NO OCEANO E, PORTANTO, DIFERENÇAS NA CIRCULAÇÃO GEOSTÓFICA DE ALIBRATO A PONTO NO OCEANO.

Resumo da aula passada

(4)



A CAMADA DE EKMAN DE FUNDO

atuações: $z=0 \rightarrow$ fundo

- fundo plano
- ρ constante (Boussinesq)
- hemisfério Norte
- plano f

o caso de uma corrente geostrofica zonal espacialmente homogênea.

Reescrevendo (i),

$$0 = -\frac{1}{f\rho_0} \frac{\partial \bar{p}}{\partial x}$$

$$f\bar{u} = -\frac{1}{\rho_0} \frac{\partial \bar{p}}{\partial y} = \text{constante}$$

Considere o sistema hidrodinâmico em (ii)

$$-fv = A_v \frac{\partial^2 u}{\partial z^2} \quad (1)$$

A_v = coeficiente de viscosidade turbulenta vertical

$$fu = -\frac{1}{\rho_0} \frac{\partial \bar{p}}{\partial y} + A_v \frac{\partial^2 v}{\partial z^2} \quad (2)$$

(2) pode se usar como

$$f\mu = f\bar{\mu} + A_V \frac{\partial^2 v}{\partial z^2}$$

$$f(\mu - \bar{\mu}) = A_V \frac{\partial^2 v}{\partial z^2} \quad (3)$$

O sistema é resolvido pelas equações (1) e (3).

→ sistema linear de eq. diferenciais:

- para resolver, é necessário ter condições de contorno

1ª) $\mu \rightarrow \bar{\mu}$, $v \rightarrow 0$, $z \rightarrow \infty$, no interior quântico (cc1)

2ª) $\mu = v = 0$, no fundo, $z=0$ (cc2)

$$\frac{\partial^2}{\partial z^2} (1): -f \frac{\partial^2 v}{\partial z^2} = A_V \frac{\partial^4 \mu}{\partial z^4} \quad (4)$$

resolvendo por derivação cruzada, é possível pois as eq. são lineares

$$(3) \text{ em } (4) \quad -\frac{f^2}{A_V} (\mu - \bar{\mu}) = A_V \frac{\partial^4 \mu}{\partial z^4}$$

$$\frac{\partial^4 \mu}{\partial z^4} + \frac{f^2}{A_V^2} (\mu - \bar{\mu}) = 0$$

$$\therefore \frac{\partial^4 \mu}{\partial z^4} + \frac{f^2}{A_V^2} \mu = \frac{f^2}{A_V^2} \bar{\mu} \quad (5)$$

(5) é uma eq. bi-harmônica não-homogênea

Isso implica que a solução de (5) seja dada por

$$\mu = \mu_{\text{homogênea}} + \mu_{\text{particular}}$$

$$\mu_{\text{part.}} = \bar{\mu}$$

μ_h pode ser encontrado usando o método das características

$$(6) \quad \frac{\partial^4 \mu_h}{\partial z^4} + \frac{f^2}{A_V^2} \mu_h = 0 \Rightarrow \text{eq. característica: } \lambda^4 + \frac{f^2}{A_V^2} = 0,$$

$$\text{que tem soluções } \lambda = \pm (1 \pm i) \frac{1}{h_E} ; \quad h_E = \sqrt{\frac{2A_V}{f}}$$

↓
(7)

(6)

A solução de (6),

$$u_h(z) = C_1 e^{\lambda_1 z} + C_2 e^{\lambda_2 z} + C_3 e^{\lambda_3 z} + C_4 e^{\lambda_4 z} \quad (8)$$

$$u_h = C_1 e^{\cancel{(1+i)z/h_E}} + C_2 e^{\cancel{(1-i)z/h_E}} + C_3 e^{-(1+i)z/h_E} + C_4 e^{-(1-i)z/h_E}$$

... aplicando (cc 1) $\Rightarrow C_1 = C_2 = 0$

$$u_h = \underset{=}{C_3} e^{-(1+i)z/h_E} + \underset{=}{C_4} e^{-(1-i)z/h_E} \quad (9)$$

usando (9) em (1):

$$v_h = -i \underset{=}{C_3} e^{-(1+i)z/h_E} + i \underset{=}{C_4} e^{-(1-i)z/h_E} \quad (10)$$

○

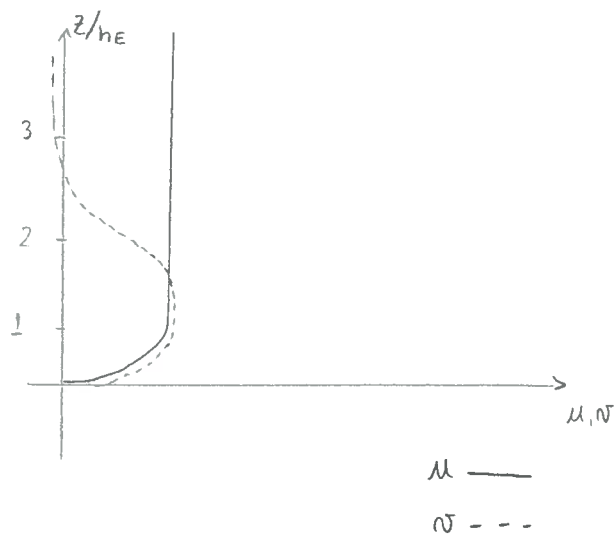
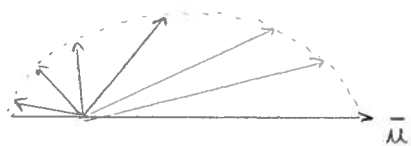
... aplicando (cc 2): $v_h(z=0) = 0$
 $u_h(z=0) = -\bar{\mu}$

$$\begin{cases} C_3 + C_4 = -\bar{\mu} \\ C_3 - C_4 = 0 \end{cases} \quad C_3 = C_4 = -\frac{\bar{\mu}}{2}$$

Usando as definições de u_p , u_h e v_h e tomando a parte real das equações, obtemos:

○

$$\begin{cases} u = \bar{\mu} \left(1 - e^{-z/h_E} \cos \frac{z}{h_E} \right) & (11) \\ v = \bar{\mu} \cdot e^{-z/h_E} \sin \frac{z}{h_E} & (12) \end{cases}$$



Correntes do Interior Geostrofico Espacialmente não-uniformes

7

$$\bar{p} = \bar{p}(x, y) \quad \left\{ \begin{array}{l} -f\bar{v} = -\frac{1}{\rho_0} \frac{\partial \bar{p}}{\partial x} \\ f\bar{u} = -\frac{1}{\rho_0} \frac{\partial \bar{p}}{\partial y} \end{array} \right.$$

Similarmente ao caso anterior, a solução tem caráter espinal dada por:

$$\left\{ \begin{array}{l} u = \bar{u} \left(1 - e^{-z/h_E} \cos \frac{z}{h_E} \right) - \bar{v} e^{-z/h_E} \sin \frac{z}{h_E} \quad (13) \\ v = \bar{u} e^{-z/h_E} \sin \frac{z}{h_E} + \bar{v} \left(1 - e^{-z/h_E} \cos \frac{z}{h_E} \right) \quad (14) \end{array} \right.$$

○ Transporte (por unidade de comprimento) devido às correntes de atrito:

$$\left\{ \begin{array}{l} U_E = \int_0^\infty (u - \bar{u}) dz \quad \therefore \quad U_E = -\frac{h_E}{2} (\bar{u} + \bar{v}) \\ V_E = \int_0^\infty (v - \bar{v}) dz \quad \therefore \quad V_E = \frac{h_E}{2} (\bar{u} - \bar{v}) \end{array} \right. \quad \text{TRANSPORTE DE EKMAN}$$

Consideremos a eq. da continuidade no atrito:

$$\int_0^\infty \frac{\partial w_E}{\partial z} dz = - \left(\frac{\partial u_E}{\partial x} + \frac{\partial v_E}{\partial y} \right) dz$$

$$\int_0^\infty \frac{\partial w_E}{\partial z} dz = - \underbrace{\frac{\partial}{\partial x} \int_0^\infty u_E dz}_{U_E} - \underbrace{\frac{\partial}{\partial y} \int_0^\infty v_E dz}_{V_E}$$

$$w_E(\infty) - w_E(0) = - \left(\frac{\partial}{\partial x} v_E + \frac{\partial}{\partial y} v_E \right)$$

(8)

fluxo nulo normal ao contorno = 0

→ temos uma velocidade vertical no topo da camada de Ekman de fundo.

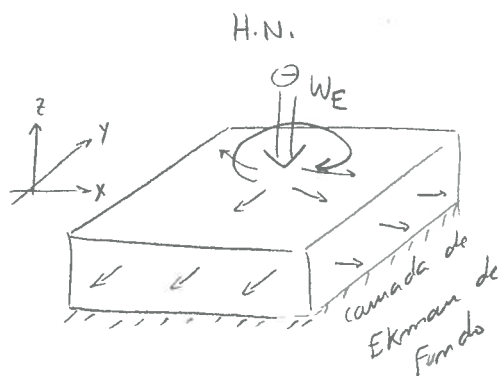
$$w_E(\infty) = \frac{h_E}{2} \frac{\partial \bar{u}}{\partial x} + \frac{h_E}{2} \frac{\partial \bar{v}}{\partial x} - \frac{h_E}{2} \frac{\partial \bar{u}}{\partial y} + \frac{h_E}{2} \frac{\partial \bar{v}}{\partial y}$$

$$= \frac{h_E}{2} \left(\frac{\partial \bar{u}}{\partial x} + \frac{\partial \bar{v}}{\partial y} + \frac{\partial \bar{v}}{\partial x} - \frac{\partial \bar{u}}{\partial y} \right) \rightarrow \text{vert. relativa geostrofica: } \bar{f}$$

→ div. do mov. geostrofico = 0

$$w_E(\infty) = \frac{h_E}{2} \bar{f} = \frac{h_E}{2} \frac{\nabla_p^2 p}{\rho f} \quad (15)$$

BOMBEAMENTO
DE
EKMAN



27/06/2006

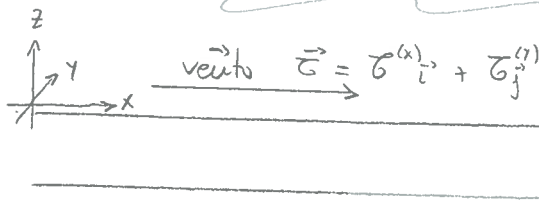
Ata com box no Beroit

Pond Pickand (9)

A CAMADA DE EKMAN DE SUPERFICIE

H.N.

cap 06 do Pedlosky



$$\rho = \text{cte}$$

plano f

camada de mistura

As equações são simplesmente as eq. do balanço para de Ekman:

$$\begin{cases} -fN = A_v \frac{\partial^2 u}{\partial z^2} & (16) \end{cases}$$

$$\begin{cases} fU = A_v \frac{\partial^2 N}{\partial z^2} & (17) \end{cases}$$

- oceanos lateralmente e verticalmente infinitos

Condições de contorno:

(cc1)

$$\rightarrow \tau^{(x)} = \rho_0 A_v \left. \frac{\partial u}{\partial z} \right|_{z=0}; \tau^{(y)} = \rho_0 A_v \left. \frac{\partial N}{\partial z} \right|_{z=0} \quad \text{em } z=0 \quad \tau^x, \tau^y \Rightarrow \text{vento}$$

ρ_0 da cam. de mistura

$$\rightarrow u \rightarrow 0, N \rightarrow 0 \quad \text{em } z \rightarrow \infty \quad (\text{cc2})$$

Def. de Camada Limite, segundo PRANDTL (parênteses)

2 sistemas distintos de escoamentos, que resultam na formulação da teoria das camadas limite.

Regime Interior \Rightarrow longe dos contornos, onde a viscosidade é desprezível

Camada Limite \Rightarrow delgada, próxima aos contornos, onde a viscosidade é relevante. O atrito vai trazer a velocidade do escoamento à ZERO junto ao contorno

Voltando a solução da camada de Ekman de superfície, que é matematicamente análoga à solução da camada de Ekman Bêntica

$$\frac{\partial^2}{\partial z^2} (16) \rightarrow -f \frac{\partial^2 N}{\partial z^2} = A_v \frac{\partial^4 u}{\partial z^4} \quad (18)$$

$$\frac{\partial^4 u}{\partial z^4} + \frac{f^2}{A_v^2} u = 0 \quad (19)$$

$$c/(17) \text{ em } (18) \rightarrow -\frac{f^2}{A_v} u = \frac{\partial^4 u}{\partial z^4}$$

\hookrightarrow eq. dif. homogênea de 4º ordem

bi-harmônica

Eq. Característica : $\lambda^4 + \frac{f^2}{A_v^2} = 0$ *

$$u(z) = C_1 e^{\lambda_1 z} + C_2 e^{-\lambda_2 z} + C_3 e^{\lambda_3 z} + C_4 e^{-\lambda_4 z}$$

(cc2) \rightarrow 2 const. usadas que se anulam, pois não pode haver crescimento exponencial

FAZER EM CASA ∇ o desenvolvimento (no verso da folha)

finalmente, a solução geral do sistema, após a determinação das constantes de integração por cc1 e cc2:

$$u(z) = \frac{\sqrt{2}}{\rho_0 f h_E} \cdot e^{z/h_E} \left[\bar{G}^x \cos\left(\frac{z}{h_E} - \frac{\pi}{4}\right) - \bar{G}^y \sin\left(\frac{z}{h_E} - \frac{\pi}{4}\right) \right] \quad (20)$$

$$v(z) = \frac{\sqrt{2}}{\rho_0 f h_E} \cdot e^{z/h_E} \left[\bar{G}^x \sin\left(\frac{z}{h_E} - \frac{\pi}{4}\right) + \bar{G}^y \cos\left(\frac{z}{h_E} - \frac{\pi}{4}\right) \right] \quad (21)$$

Espiral

Evanescente da

superfície para o

limite do Interior

Geostrofico

o $\frac{\pi}{4}$ mostram que as correntes de Ekman estão a 45° a direita do vento (CORRENTES DE DERIVA / DERIVA DE EKMAN)

- a espiral de Ekman pode robustez ao considerar constante o coeficiente de viscosidade (A_v)
- o TRANSPORTE DE EKMAN sim, é robusto, pois não depende desse coeficiente

TRANSPORTE DE EKMAN

- sempre por unidade de comprimento

$$U = \int_{-\infty}^0 u dz = \frac{1}{\rho_0 f} \bar{G}^y \quad (22)$$

90° da tensão de cisalhamento do

vento - $\left\{ \begin{array}{l} \text{din} \rightarrow H.S. \\ \text{esq} \rightarrow H.N. \end{array} \right.$

$$V = \int_{-\infty}^0 v dz = -\frac{1}{\rho_0 f} \bar{G}^x \quad (23)$$

BIÊN p/ resolver essa integral por partes monstruosa: $\int_{-\infty}^0 v = -\frac{1}{\rho_0 f} \frac{\partial \bar{G}^x}{\partial z} dz \dots$

BOMBEAMENTO DE EKMAN → cam. lim. superior

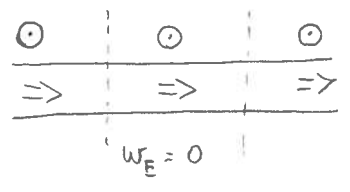
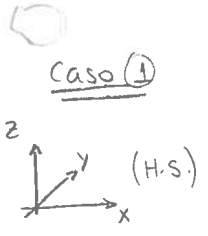
Voltando a eq. da continuidade

$$\int_{-\infty}^0 \left[\frac{\partial w}{\partial z} = - \left(\frac{\partial u}{\partial x} + \frac{\partial v}{\partial y} \right) \right] dz$$

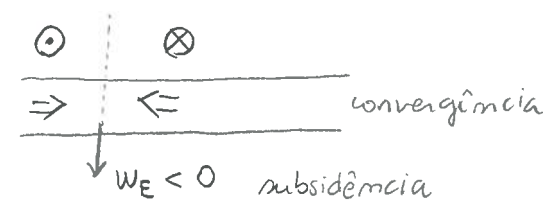
$$w(0) - w(-\infty) = - \left(\frac{\partial u}{\partial x} + \frac{\partial v}{\partial y} \right) \therefore w(-\infty) = \frac{1}{\rho f} \left(\frac{\partial \tau^y}{\partial x} - \frac{\partial \tau^x}{\partial y} \right)$$

$$w_E(-\infty) = \frac{\vec{K}}{\rho f} \cdot \nabla \times \vec{C} \quad (24) \rightarrow \text{comp. neut. do rot. da tens\~ao de cis. do vento}$$

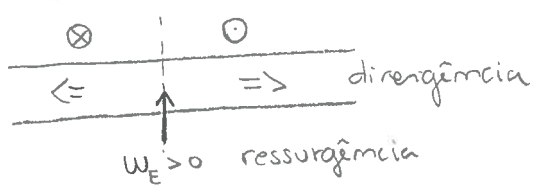
→ se o vento tiver vorticidade, haver\~a bombeamento!



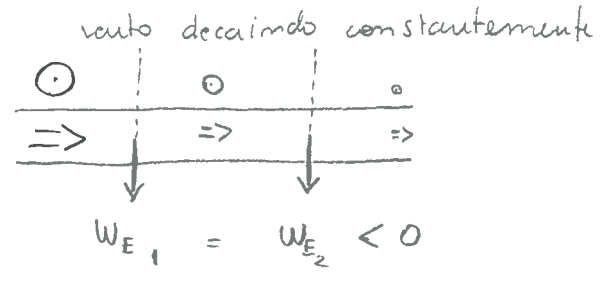
caso 2



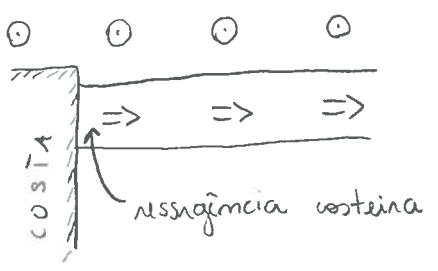
caso 3



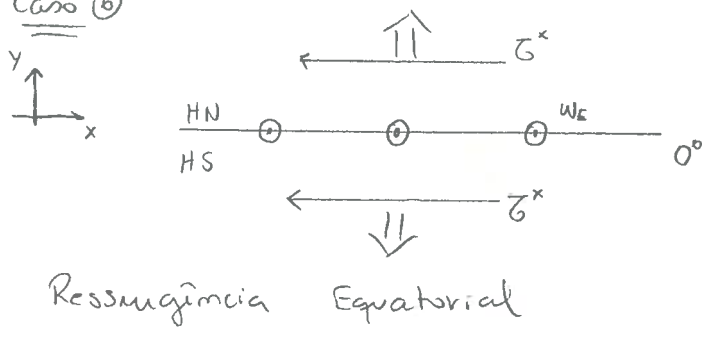
caso 4



caso 5



caso 6



A TEORIA DE EKMAN VS ESTUDOS GEOFÍSICOS REAIS

Ver Pond e Pickard

- limitações da Teoria de Ekman

- diferenças entre teoria e observações advém de 2 fatores;
 - Turbulência
 - Estratificação

Mellor & Yamada (1982)

Dentre as várias discordâncias entre o modelo teórico e a observação, dois resultados são mais comumente apontados

- (i) o ângulo entre $\vec{\tau}$ e $\vec{V}_E(z=0)$ é sistematicamente muito menor que 45° . Varia tipicamente entre 5° e 20° .

→ modelo teórico de Madsen (1977): A_v varia linearmente

- (ii) a espessura da Camada de Ekman

$$h_E = \frac{\gamma}{f} u_*$$

$\gamma = 0,4$ usualmente (cte de Von Karman)

$$u_* = \sqrt{\frac{|\vec{\tau}|}{f}}, \text{ velocidade friccional}$$

DESAFIO: calcular a espessura de Ekman numericamente para

- situações diferentes de A_v
- $A_v = \text{cte}$ (Ekman) (Madsen)
 - A_v variando linearmente
 - A_v variando exponencialment

29/06/2006

13

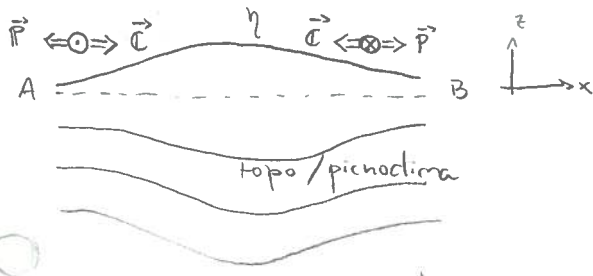
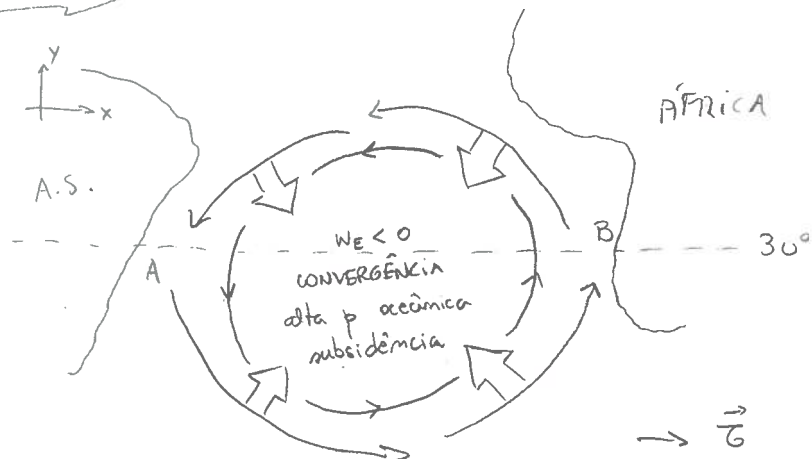
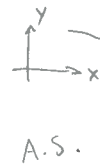
A CIRCULAÇÃO NAS REGIÕES OCEÂNICAS

bal. de Ekman

$$-f v = -\frac{1}{\rho} \frac{\partial p}{\partial x} + \frac{1}{\rho} \frac{\partial \tau^x}{\partial z}$$

bal. geostrofico

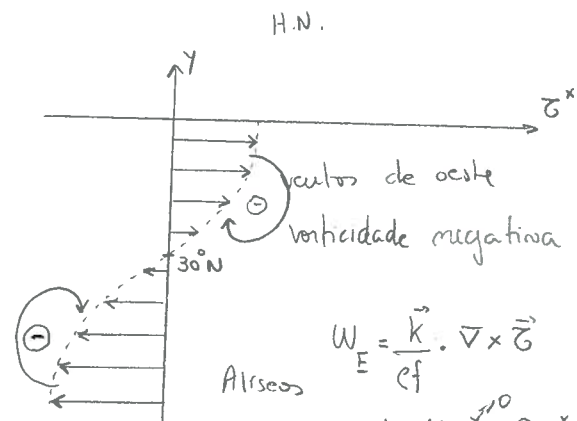
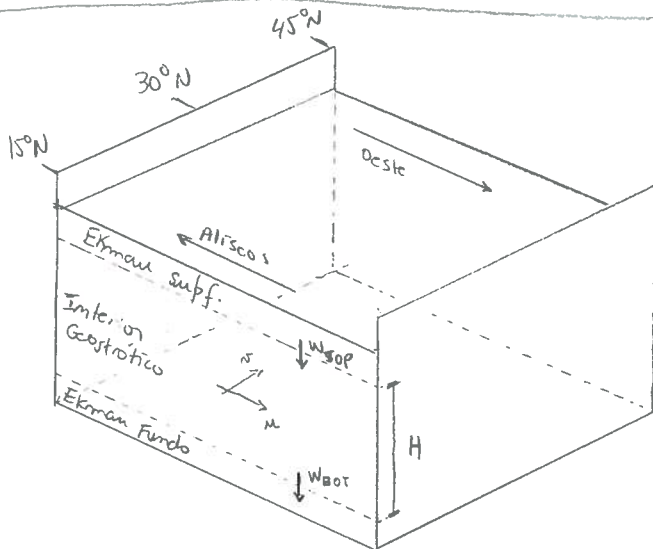
$$f u = -\frac{1}{\rho} \frac{\partial p}{\partial y} + \frac{1}{\rho} \frac{\partial \tau^y}{\partial z}$$



$$\vec{u} \Rightarrow \vec{v} \Rightarrow \vec{u}_E$$

UM MODELO PARA CIRCULAÇÃO EM GRANDE ESCALA PARA LATITUDES MÉDIAS DO OCEANO

aprox: $\vec{u} \approx \vec{u}^x \vec{i}$



$$W_E = \frac{\vec{k}}{f} \cdot \nabla \times \vec{u}$$

$$= \frac{1}{f} \left(\frac{\partial \tau^y}{\partial x} - \frac{\partial \tau^x}{\partial y} \right)$$

$$f > 0$$

$$W_E < 0 \Downarrow$$

- modelo normalmente formado por 3 camadas dinâmicas

1) camada de Ekman de superfície

$$W_{top} = -\frac{1}{\rho f} \frac{\partial \tau^x}{\partial y} \quad (1)$$

$$\left\{ \begin{array}{l} \text{plano p} \\ \rho = \text{cte} \\ x_1 - x_2 \\ y_1 - y_2 \sim 10^6 \text{ m} \\ \text{fundo plano} \end{array} \right.$$

2) Camada de Ekman de fundo

$$W_{bot} = \frac{h_E}{2} \left(\frac{\partial v}{\partial x} - \frac{\partial u}{\partial y} \right) \quad (2)$$

$u, v \rightarrow$ velocidades geostroficas

3) Inten geost fico

p' : pressão geostófica

$$-(f_0 + \beta y) v = -\frac{1}{\rho_0} \frac{\partial p'}{\partial x} \quad (3)$$

$$\frac{\partial p}{\partial z} = -\rho g \quad \text{eq hidrostática}$$

$$(f_0 + \beta y) u = -\frac{1}{\rho_0} \frac{\partial p'}{\partial y} \quad (4)$$

$$p = p_0(z) + p'(x, y)$$

$$\frac{\partial p_0}{\partial z} = -\rho g \quad \therefore -\frac{1}{\rho_0} \frac{\partial p'}{\partial z} = 0$$

$$0 = -\frac{1}{\rho_0} \frac{\partial p'}{\partial z} \quad (5)$$

$$\frac{\partial u}{\partial x} + \frac{\partial v}{\partial y} + \frac{\partial w}{\partial z} = 0 \quad (6)$$

Colocando (3) e (4) em (6)

$$\frac{\partial}{\partial x} \left(-\frac{1}{f \rho_0} \frac{\partial p'}{\partial y} \right) + \frac{\partial}{\partial y} \left(\frac{1}{f \rho_0} \frac{\partial p'}{\partial x} \right) = -\frac{\partial w}{\partial z} \quad \therefore \quad \cancel{\frac{-1}{f \rho_0} \frac{\partial^2 p'}{\partial x \partial y}} + \cancel{\frac{1}{f \rho_0} \frac{\partial^2 p'}{\partial x \partial y}} - \frac{1}{f \rho_0} \frac{\partial p'}{\partial x} \beta = -\frac{\partial w}{\partial z}$$

$$\boxed{\frac{\beta v}{f} = + \frac{\partial w}{\partial z}} \quad (7)$$

a velocidade vertical no interior geostófico é devida à divergência do mov. geostófico no plano ρ . Este w tem de ser contínuo através das camadas dinâmicas e se aproxima dos valores do bombeamento de Ekman nas camadas limite de superfície e de fundo.

CENÁRIO DO MODELO

- ventos sopram sobre o oceano e estabelecem uma camada de Ekman em superfície. Como a tensão de cisalhamento do u tem rotacional $\neq 0$, uma velocidade vertical (Bombeamento de Ekman) é criada e comunicada para as águas do interior geostófico.
- nesta camada interior a velocidade vertical só pode ser acomodada pela existência de convergência/divergência do escoamento geostófico sob a influência do plano ρ . Em outras palavras, é necessário que se estabeleça um escoamento geostófico no interior em reação ao bombeamento de Ekman da cam. limite de sup.

- finalmente este escoamento geostrófico atinge o fundo e o atrito contra ele estabelece a camada limite de fundo. Como a corrente geostrófica do interior tem vorticidade, haverá geração adicional de w dentro dessa camada. O escoamento interior terá de acomodar portanto as velocidades verticais nas interfaces com as duas camadas limites, sem ferir o princípio da continuidade.

Número planetário ($\hat{\beta}$): $f = f_0 + \beta y$ $\hat{\beta} = 0 \left(\frac{\beta y}{f_0} \right)$ $\beta = \frac{\overbrace{10^{-4}}^{10^{-4}} \overbrace{10^0}^{10^0}}{\underbrace{2R \cos \theta}_a \underbrace{10^3}_{10^3}}$

$\hat{\beta} = \frac{\beta L}{f_0} = \frac{10^{-11} \cdot 10^6}{10^{-4}} \therefore \hat{\beta} = 0(10^{-1})$ $\beta = \frac{\partial f}{\partial y}$ $\beta = 0(10^{-11} m^{-1} s^{-1})$

(7) $\beta w \approx f_0 \frac{\partial w}{\partial z}$, com 10^{-1} de erro (10%, meio alto p/ plano β)

p/ aplicar o plano β , $\hat{\beta} \ll 1$

$\beta w = f_0 \frac{\partial w}{\partial z}$ (8) $\propto \frac{\partial w}{\partial z} \uparrow$ (estimar o tubo de vórtice), $f_0 \uparrow$ (vorticidade planetária)

$\frac{\partial}{\partial z}(8) \rightarrow \beta \frac{\partial w}{\partial z} = f_0 \frac{\partial^2 w}{\partial z^2} = 0 \Rightarrow \frac{\partial^2 w}{\partial z^2} = 0$ no interior geostrófico

$\hookrightarrow \phi$ (Taylor Proudman)

$\frac{\partial w}{\partial z} = \text{cte} \Rightarrow w$ é uma f.e. linear de no interior geostrófico

(1) e (2) em (9)

$\frac{\partial w}{\partial z} = \frac{1}{\rho_0 f_0 H} \left(-\frac{\partial \sigma^*}{\partial y} \right) - \frac{h_E}{2H} \left(\frac{\partial w}{\partial x} - \frac{\partial u}{\partial y} \right)$ (10)

$\frac{\partial w}{\partial z} = \frac{w_{\text{top}} - w_{\text{bot}}}{H}$ (9)

- com (10) em (8):

$\beta w = \frac{1}{\rho_0 H} \left(-\frac{\partial \sigma^*}{\partial y} \right) - \frac{f_0 h_E}{2H} \left(\frac{\partial w}{\partial x} - \frac{\partial u}{\partial y} \right)$ (11)

$\beta \left(\frac{1}{\rho_0 f_0} \frac{\partial p'}{\partial x} \right) = \frac{1}{\rho_0 H} \left(-\frac{\partial \sigma^*}{\partial y} \right) - \frac{h_E}{2H \rho_0} \nabla_H^2 p'$ ($\times \rho_0 f_0$)

$$\beta \frac{\partial p'}{\partial x} = -\frac{f_0}{H} \frac{\partial \sigma^x}{\partial y} - \frac{f_0 h_E}{2H} \nabla_H^2 p' \quad (12) \quad \div \beta$$

$$LS = 0 \left(\frac{10^{-4} \cdot 10}{10^{-11} \cdot 10^3 \cdot 10} \right) = 0 (10^4) m \quad (16)$$

$$\frac{\partial p'}{\partial x} = -\frac{f_0}{H\beta} \frac{\partial \sigma^x}{\partial y} - \frac{f_0 h_E}{2H\beta} \nabla_H^2 p' \quad LS = \frac{f_0 h_E}{2\beta H}$$

$$\underbrace{\frac{\partial p'}{\partial x} = -\frac{f_0}{\beta H} \frac{\partial \sigma^x}{\partial y}}_I - \underbrace{LS \nabla_H^2 p'}_{II} \quad (13)$$

I BALANÇO DOMINANTE

II \rightarrow representa camadas-limite laterais

$$(I) \Rightarrow \frac{p'}{L}; \quad (II) \frac{p'}{L^2}; \quad \frac{(II)}{(I)} = \frac{LS}{L} = 10^{-2} \Rightarrow II \ll I$$

04/07/2006

PROVA 1 \rightarrow 8/8 - 3^o feira

A RELAÇÃO DE SVERDRUP

$\beta \bar{\omega} = f_0 \frac{\partial \omega}{\partial z}$ } estimativa do tubo de vórtice
advecção de vort. plan.

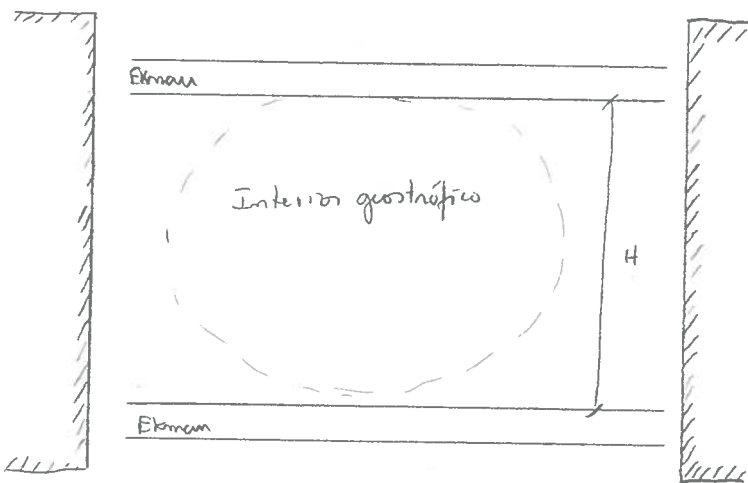
fundo plano

$\rho = \text{cte}$

plano β ($\beta \ll 1$)

taylor proudman

aprox. geostrophica



Esta relação mostra que a velocidade meridional, em todas as localidades, é função do rotacional de $\vec{\sigma}$ localmente

$$\bar{\omega} = \frac{1}{\rho \beta H} \left(-\frac{\partial \sigma^x}{\partial y} \right)$$

O Balanço dominante na porção central do interior é:

$$\frac{\partial p'}{\partial x} = \frac{f_0}{\beta H} \left(-\frac{\partial \sigma^x}{\partial y} \right) \quad (14)$$

(14) ou (15) é conhecida como

RELAÇÃO DE SVERDRUP

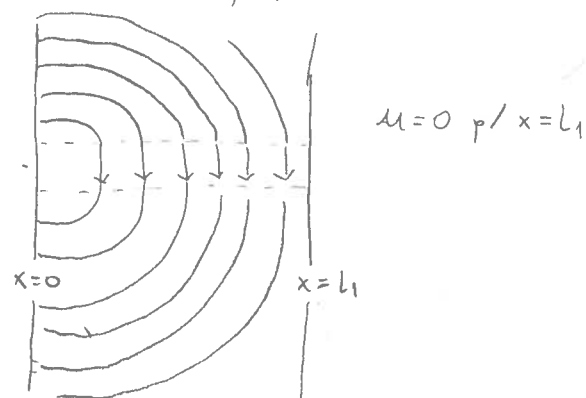
$$\frac{1}{\rho f_0} (14) \Rightarrow \bar{\omega} = \frac{1}{\rho \beta H} \left(-\frac{\partial \sigma^x}{\partial y} \right) \quad (15)$$

A relação de Sverdrup portanto mostra que o fluido se movimentará cruzando as linhas de $f = \text{cte}$, devido à vorticidade introduzida na coluna de água pelo rotacional da tensão de cisalhamento do vento

Como a Eq. 15 é de 1º ordem em x , não podemos admitir 1 condição de contorno. Devemos escolher ou $x=0$ ou $x=L_1$.

Baseado em observações, Sverdrup escolheu $x=L_1$, pois é a borda leste, menos intensa

O Gino está aberto por enquanto:



INTENSIFICAÇÃO DA BORDA

OESTE

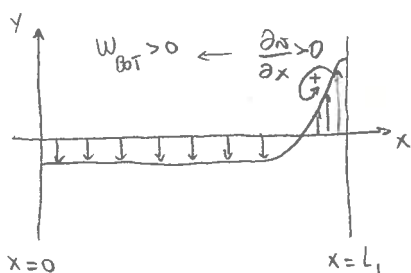
Retomando a Eq. 13,

$$\frac{\partial p'}{\partial x} = -\frac{f_0}{\beta H} \frac{d\zeta^*}{dy} - L_s \nabla^2 p' \quad (13)$$
$$\sim \frac{\partial^2 p'}{\partial x^2} \sim \frac{\partial \zeta^*}{\partial x}$$

O MODELO DE
STOMMEL

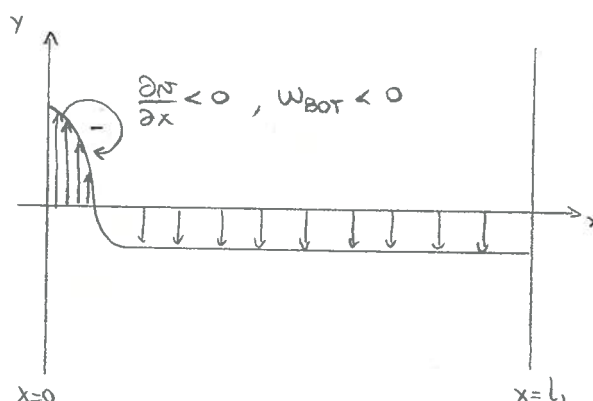
Como o coef do termo envolvendo a mais alta derivada é pequeno, este só será relevante onde a derivada for muito grande. É de se supor que tal relevância ocorra numa região limitada da bacia, a qual chamaremos de camada limite lateral. Onde deve ser colocada a camada limite; no lado leste ou no lado oeste?

No Lado Leste $w_{top} < 0$



viola o princípio da continuidade

No lado OESTE $w_{TOP} < 0$



No lado oeste
o modelo
funciona

- Os sistemas de vento em larga escala geram tensões de cisalhamento na supf. do oceano. Nos subtropicais, o rotacional desta tensão de cisalhamento tem sentido anti-ciclônico.
- Como a água do mar é apenas ligeiramente viscosa e o efeito da rotação em larga escala é importante, uma delgada camada limita a ação direta da tensão de cisalhamento a 10-15 m de profundidade.
- O efeito da rotação que nos subtropicais convergência nesta camada delgada, tendo como resultado um bombeamento de água para o interior do oceano.
- As parcelas de fluido são então comprimidas verticalmente, em resposta a essa compressão, se alongam, mas em larga escala, a compensação via geração de vorticidade relativa não é satisfatória. A água tem de migrar para o sul, e assim se estabelece o transporte de Sverdrup.
- Ao sul da bacia o rotacional do vento é ϕ e a água tem de girar para oeste. E fazem-o porque a fricção com o fundo impõe uma camada limite lateral na borda oeste da bacia.
- O escoamento então entra na borda oeste e se confina num intenso jato que flui para Norte. Esse jato é uma vorticidade que é divergência acentuada na camada de Ekman de fluido. Tal divergência causa um estiramento na coluna que ao fim do percurso em direção ao Norte eventualmente recupera sua altura original. Nos limites Norte da bacia reiniciam então sua viagem rumo ao sul.

Podemos resolver (23) usando (24):

$$\underbrace{\frac{\partial p'}{\partial x} \vec{i}}_{\beta \vec{i}} \cdot \underbrace{[\nabla B \times \vec{k}]}_{\beta \vec{i}} = -\frac{f_0}{H} \frac{\partial \sigma^*}{\partial y} \quad (25)$$

A relação de Sverdrup determina um escoamento normal às isolinhas de vorticidade potencial ambiente B .

Digressão: $B = \beta y \quad \nabla B \times \vec{k} = \beta (\vec{j} \times \vec{k}) = \beta \vec{i}$

$\nabla B = \beta \vec{j}$

Os contornos geostóficos são as isolinhas de B , ao longo das quais o escoamento geostófico flui.

Agora, vamos incluir o efeito da topografia, modificando a eq (2) para:

$$w_{BOT} = \underbrace{\frac{h_E}{2} \nabla^2 \frac{p'}{\rho_0 f_0}}_{\text{Bombeamento de Ekman no topo da camada limite de fundo}} + \underbrace{J\left(\frac{p'}{\rho_0 f_0}, h_B\right)}_{\text{efeito topográfico}} \quad (26)$$

$$w = \frac{Dh_B}{Dt} = \frac{\partial h_B}{\partial t} + u \frac{\partial h_B}{\partial x} + v \frac{\partial h_B}{\partial y}$$
$$= \frac{\partial}{\partial y} \frac{p'}{\rho_0 f_0} \frac{\partial h_B}{\partial x} + \frac{\partial}{\partial x} \underbrace{\left(\frac{p'}{\rho_0 f_0}\right)}_A \frac{\partial h_B}{\partial y}$$
$$J(A, B) = \frac{\partial A}{\partial x} \frac{\partial B}{\partial y} - \frac{\partial A}{\partial y} \frac{\partial B}{\partial x}$$
$$w = \cancel{\frac{\partial h_B}{\partial t}} + J\left(\frac{p'}{\rho_0 f_0}, h_B\right)$$

Relembrando que (23) emerge da manipulação de:

$$\beta \sigma^* = f_0 \frac{\partial w}{\partial z} = f_0 \left(\frac{w_{TOP} - w_{BOT}}{H} \right) \quad (27)$$

Usando (26) em (27) e as definições geostóficas ($\times \rho_0 f_0$)

$$\beta \frac{\partial p'}{\partial x} = \frac{f_0}{H} \left[-\frac{\partial \sigma^*}{\partial y} - \frac{h_E}{2} \nabla^2 p' + J(p', h_B) \right]$$

Rescrevendo a relação de Sverdrup (23) incluindo o efeito da topografia

$$\frac{\partial p'}{\partial x} \left(\beta + \frac{f_0}{H} \frac{\partial h_B}{\partial y} \right) - \frac{\partial p'}{\partial y} \left(\frac{f_0}{H} \frac{\partial h_B}{\partial x} \right) = -\frac{f_0}{H} \frac{\partial \sigma^*}{\partial y} \quad (28)$$

Os contornos geostóficos passam a se escrever como

$$B(x, y) = \beta y + \frac{f_0}{H} h_B \quad (29)$$

OCEANOGRAFIA REGIONAL - 2º Trimestre

Prof: ILSON CARLOS ALMEIDA DA SILVEIRA

SUELI SUZANA DE GODOI

10/06/08

1. INTRODUÇÃO À OCEANOGRAFIA REGIONAL

Dimâmica de fluidos geofísicos: → forçantes
→ cond. de contorno
→ cond. iniciais

Forçantes Oceânicas

> Mecânica: TCV

> Termodinâmica: fluxos (calor, sal, massa, ...)

Grande Escala

> circulação gerada pelo vento $\approx 0-1000$ m no ocn. real

> circulação termohalina.

2. ESCALAMENTOS GEOSTRÓFICOS NO OCEANO HOMOGÊNEO

Recapitulações:

$$\frac{d\vec{v}}{dt} + \underbrace{2\vec{\Omega} \times \vec{v}} = -\frac{1}{\rho} \nabla p + \vec{g} + A_H \nabla_H^2 \vec{v} + A_V \frac{\partial^2 \vec{v}}{\partial z^2} \quad (1)$$

$$\nabla \cdot \vec{v} = 0 \quad \vec{k} f \times \vec{v} \Rightarrow \text{aprox. tradicional} \quad (2)$$

Escalas básicas no oceano:

	meso	grande
L	10^5 m	10^6 m
U	10^{-1} m s^{-1}	10^{-2} m s^{-1}
H	10^3 m	10^3 m
$T = LU^{-1}$	10^6 s	10^8 s

$$f = 10^{-4} \text{ s}^{-1}$$

$$A_V = 10^{-2} \text{ m}^2 \text{ s}^{-1}$$

$$A_H = 10^2 \text{ m}^2 \text{ s}^{-1}$$

$$W = \frac{H}{L} U \quad (\text{eq. da cont.})$$

$$\rho = 10^3 \text{ kg m}^{-3}$$

Números adimensionais

$$\delta = \frac{H}{L} \ll 1 \rightarrow \text{aproximações hidrostática}$$

\rightarrow as acelerações centrífugas são incapazes de destruir o balanço hidrostático.

$$E_H = \frac{A_H \nabla_H^2 \vec{v}_H}{|\vec{k} f \times \vec{v}_H|} = \frac{A_H \frac{U}{L^2}}{fU} = \frac{A_H}{fL^2} \begin{cases} 10^{-4} \text{ (meso)} \\ 10^{-6} \text{ (grande)} \end{cases}$$

$$E_V = \frac{A_V \frac{\partial^2 \vec{v}_H}{\partial z^2}}{|\vec{k} f \times \vec{v}_H|} = \frac{A_V}{fH^2} = 10^{-4} \quad \quad \quad \mathcal{E} = \frac{\frac{d\vec{v}_H}{dt}}{|\vec{k} f \times \vec{v}_H|} = \frac{U}{fL} \begin{cases} 10^{-2} \text{ (meso)} \\ 10^{-4} \text{ (grande)} \end{cases}$$

Reescrevendo equações do movimento.

(3)

$$\left[\begin{aligned} -f_v &= -\frac{1}{\rho} \frac{\partial p}{\partial x} + O\left(\frac{U^2}{L}\right) \quad (3) \end{aligned} \right.$$

$$\left[\begin{aligned} f_u &= -\frac{1}{\rho} \frac{\partial p}{\partial y} + O\left(\frac{U^2}{L}\right) \quad (4) \end{aligned} \right.$$

$$\left[\begin{aligned} \frac{1}{\rho} \frac{\partial p}{\partial z} &= -g + O\left(\delta \frac{U^2}{L}\right) \quad (5) \end{aligned} \right. \begin{array}{l} \text{balanço geostrófico} \\ \text{balanço geostrófico} \end{array}$$

Escala da pressão:

$$p = p_0(z) + \tilde{p}(x, y, z, t), \quad \frac{\tilde{p}}{p_0} \ll 1$$

$$p = p_0(z) + \tilde{p}(x, y, z, t)$$

$$-f_v = -\frac{1}{\rho_0} \frac{\partial \tilde{p}}{\partial x}$$

$$f_u = -\frac{1}{\rho_0} \frac{\partial \tilde{p}}{\partial y}$$

(5) em termos de p_0 e p_0 :

$$P_0 = \rho_0 g H = \underline{10^7 \text{ Pa}}$$

$$\frac{1}{\rho_0} \frac{\partial p_0}{\partial z} = -g$$

$$\frac{1}{\tilde{p}} \frac{\partial \tilde{p}}{\partial z} = -g' \text{ (grav. reduzida)}$$

(3) e (4) em termos de \tilde{p} e balanço geostrófico:

$$fU = \frac{\tilde{P}}{\rho_0 L} \Rightarrow \tilde{P} = \rho_0 f U L = \underline{10^3 \text{ Pa}}$$

\tilde{p} , ou seja, a pressão geostrófica, é muito menor do que $p_0(z)$, porém é \tilde{p} que põe o oceano em movimento

(3) e (4) em forma vetorial:

$$\boxed{\vec{k} f \times \vec{\omega}_H = -\frac{1}{\rho_0} \nabla_H \tilde{p}} \quad (6) \rightarrow \text{eq. vetorial do mov. geostrófico}$$

Integrando os termos dominantes de (5) verticalmente, (4)

$$p = p_{atm} + g \int_z^\eta \rho dz \quad (7)$$

Considerando apenas a pressão oceanográfica, calculamos o gradiente horizontal de pressão, via regra de Leibniz:

$$\nabla_H p = \underbrace{g \rho \Big|_{z=\eta}}_{\text{GRAD. BAROTRÓPICO DE PRESSÃO}} \nabla_H \eta + \underbrace{g \int_z^\eta \nabla_H \rho dz}_{\text{GRAD. BAROCLÍNICO DE PRESSÃO}} \quad (8)$$

Portanto, a força do gradiente de pressão é dada por:

$$-\frac{1}{\rho} \nabla_H p = -g \nabla_H \eta - \frac{g}{\rho} \int_z^\eta \nabla_H \tilde{\rho} dz \quad (9)$$

O MOVIMENTO GEOSTRÓFICO BAROTRÓPICO

$$\tilde{\rho} = 0 \Rightarrow \rho = \rho_0$$

(9) em (6)

$$\boxed{\vec{k} f \times \vec{v}_H = -g \nabla_H \eta} \quad (10)$$

Escrevendo (10) em componentes

$$\boxed{\begin{aligned} -fv &= -g \frac{\partial \eta}{\partial x} & (11) \\ fu &= -g \frac{\partial \eta}{\partial y} & (12) \end{aligned}}$$

$$\frac{\partial}{\partial z} (11, 12) = 0 \Rightarrow \frac{\partial u}{\partial z}, \frac{\partial v}{\partial z} = 0$$

TEOREMA DE

TAYLOR PROUDMAN

APROXIMAÇÃO QUASE-GEOSTRÓFICA NO OCEANO HOMOGÊNEO

(5)

- Segundo Flierl (1978) e Young (1986), é um conjunto básico de 3 aproximações:

i) aproximação geostrófica: $\epsilon \ll 1$ ($\delta \ll 1$, ϵ_t , ϵ_v , $\epsilon_h \ll 1$)

ii) aproximação do plano β de latitudes médias:

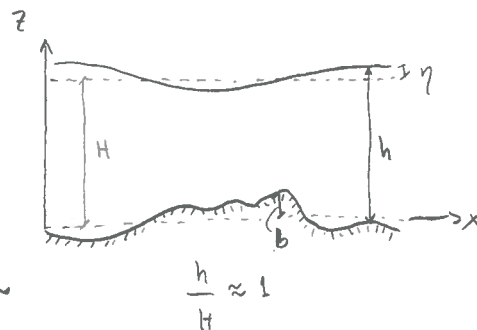
$$f = f_0 + \beta y, \quad \frac{\beta y}{|f_0|} \ll 1$$

iv) aproximação das espessuras:

$$\frac{\Delta h}{H} \ll 1$$

$$\epsilon_s = \frac{\eta, b}{H} \ll 1$$

$\hookrightarrow N^2$ de Rossby de Estratimeto



Analisemos ϵ , ϵ_s , $\hat{\beta}$ e δ para meso-escala:

$$\epsilon = 10^{-2}$$

$$\delta = 10^{-2}$$

$$\hat{\beta} = \frac{\beta L}{|f_0|} = \frac{10^{-11} 10^5}{10^{-4}} = 10^{-2}$$

$$\epsilon_s \sim \epsilon = 10^{-2} \rightarrow \Delta h = 10 \text{ m}$$

Partindo de (3) e (4) e a condição (i):

$$v = \frac{1}{\beta f} \frac{\partial \tilde{p}}{\partial x} + O(\epsilon u)$$

$$u = - \frac{1}{\beta f} \frac{\partial \tilde{p}}{\partial y} + O(\epsilon u)$$

VELOCIDADE GEOSTRÓFICA
VELOCIDADE AGEOSTRÓFICA

u_g, v_g
 u_a, v_a

Dada a condição (ii), o movimento geostrófico (6)
é não-divergente em mais baixa ordem, o que nos leva à

$$\frac{\partial u_g}{\partial x} + \frac{\partial v_g}{\partial y} = 0 \quad (14)$$

$$\frac{\partial u_a}{\partial x} + \frac{\partial v_a}{\partial y} + \frac{\partial w_a}{\partial z} = 0 \quad (15)$$

Então, qual a escala de w_a para a quase geostrofia?

$$\bar{w}_a = U_a \frac{H}{L} = \epsilon \frac{H}{L} U \rightarrow \delta = 10^{-2} = \epsilon \Rightarrow \boxed{w_a = \epsilon^2 U}$$

Voltando, as velocidades para o oceano BT

$$u = -\frac{g}{f} \frac{\partial \eta}{\partial y} + u_a \quad (16)$$

$$v = \frac{g}{f} \frac{\partial \eta}{\partial x} + v_a \quad (17)$$

$$\Rightarrow \boxed{\psi = \frac{g\eta}{f}} \quad \begin{array}{l} \text{FUNÇÃO DE CORRENTE} \\ \text{GEOSTRÓFICA} \\ \text{BAROTRÓFICA} \end{array}$$

As equações do movimento para o balanço de $O(\epsilon)$ são:

$$\frac{\partial u_g}{\partial t} + u_g \frac{\partial u_g}{\partial x} + v_g \frac{\partial u_g}{\partial y} - f v_a - \beta y v_g = 0 \quad (18)$$

$$\frac{\partial v_g}{\partial t} + u_g \frac{\partial v_g}{\partial x} + v_g \frac{\partial v_g}{\partial y} + f u_a + \beta y u_g = 0 \quad (19)$$

Tomando o rotacional de (18,19)

$$\frac{d}{dt} f_g + f \left(\frac{\partial u_a}{\partial x} + \frac{\partial v_a}{\partial y} \right) + \beta v_g = 0 \quad (20)$$

Consideremos a equação da continuidade em forma de fluxos:

$$\frac{\partial h}{\partial t} + \frac{\partial}{\partial x} (hu) + \frac{\partial}{\partial y} (hv) = 0$$

Por simplicidade, assumamos fundo plano:

(7)

$$h = H + \eta; \quad \frac{\eta}{H} = \epsilon_s \ll 1$$

$$\frac{\partial \eta}{\partial t} + u_g \frac{\partial \eta}{\partial x} + v_g \frac{\partial \eta}{\partial y} + H \left(\frac{\partial u_a}{\partial x} + \frac{\partial v_a}{\partial y} \right) = 0 \quad (21)$$

Combimando a equação da vorticidade absoluta (20) com a equação da continuidade, chegamos a equação da vorticidade potencial. (21)

$$\frac{dJ_g}{dt} - f \frac{d_g \eta}{dt H} + \frac{d_g \beta y}{dt} = 0$$

$$\frac{d_g}{dt} \left(J_g - \frac{f}{H} \eta \right) + \beta y = 0, \quad \text{colocando def. de } \psi,$$

$$\frac{d_g}{dt} \left(\nabla^2 \psi - \frac{f_0^2}{gH} \psi + \beta y \right) = 0, \quad \frac{f_0^2}{gH} = \frac{1}{R_d^2}$$

$$\boxed{\frac{d_g \varphi}{dt} = \frac{\partial \varphi}{\partial t} + J(\psi, \varphi) = 0}$$

CONSERVAÇÃO DE VPGG

$$\boxed{\varphi = \nabla^2 \psi - \frac{\psi}{R_d^2} + \beta y}$$

VORTICIDADE POTENCIAL

QUASE-GEOSTRÓFICA

BAROTRÓFICA

17/06/2008

Recapitulação

→ dinâmica QG do oceano homogêneo $\frac{\tilde{p}}{\rho_0 f} = \rho_0 \frac{g\eta}{f} = \psi$

→ aprox. QG parte do sistema de águas rasas no fluido imerso ($\delta \ll 1$)

$$\frac{du}{dt} - fw = -g \frac{\partial \eta}{\partial x} \quad (1)$$

$$\frac{dw}{dt} + fu = -g \frac{\partial \eta}{\partial y} \quad (2)$$

$$\frac{d\eta}{dt} + (H+\eta) \left(\frac{\partial u}{\partial x} + \frac{\partial v}{\partial y} \right) = 0 \quad (3)$$

→ oceano inviscido no plano z
com fundo plano

Como chegar em (3) a partir de $\nabla \cdot \vec{v} = 0$

$$\int_{-H}^{\eta} \left(\frac{\partial u}{\partial x} + \frac{\partial v}{\partial y} + \frac{\partial w}{\partial z} = 0 \right) dz$$

$$\int_{-H}^{\eta} \left(\frac{\partial u}{\partial x} + \frac{\partial v}{\partial y} \right) dz + \underbrace{w(\eta) - w(-H)}_{=0 \text{ no fundo plano}} = 0$$

$$\left(\frac{\partial u}{\partial x} + \frac{\partial v}{\partial y} \right) \cdot z \Big|_{-H}^{\eta} = \boxed{(H+\eta) \left(\frac{\partial u}{\partial x} + \frac{\partial v}{\partial y} \right)}$$

(1), (2) e (3) sob ϵ, ϵ_t e $\epsilon_s \ll 1$, quando combinadas,

$$\frac{dq}{dt} = 0, \text{ onde } q = \nabla^2 \psi + \beta y - \frac{1}{Rd_e^2} \psi, \text{ que é resultado}$$

do rotacional de (1) e (2) e subst. de (3) na eq da vorticidade absoluta.

$\beta y \equiv$ variação da vorticidade planetária

$\frac{1}{Rd_e^2} \psi \equiv$ vorticidade de estiramento

Qual a relação entre q e a VP de Ertel (π)?

$$\frac{d\pi}{dt} = 0 \rightarrow \text{Teorema de Ertel} \quad (4)$$

(5) → $\pi = \frac{1}{\rho} (\vec{f} + f\vec{k}) \cdot \nabla \lambda$, onde λ é uma prop. conservativa do fluido

Para o caso homogêneo, λ é a função de status:

(9)

$$\lambda = \frac{z-b}{h}, \text{ onde } b \equiv \text{nausões topográficas}$$

$$h \equiv H + \eta - b$$

No fundo plano, $\lambda = \frac{z}{h} = \frac{z}{H + \eta}$,

$$\pi = \frac{1}{\rho_0} \frac{J+f}{h}$$

Por (4), $\frac{1}{\rho_0}$ é irrelevante dinamicamente \Rightarrow

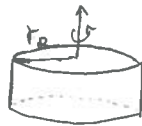
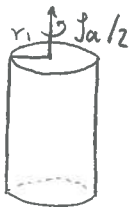
$$\pi = \frac{J+f}{h}$$

O que significa $\frac{d}{dt} \left(\frac{J+f}{h} \right) = 0$ fisicamente?

VORTICIDADE
POTENCIAL \Leftrightarrow MOMENTUM
ANGULAR

$$\pi = \frac{J+f}{h} = \frac{J_a}{h}$$

$$L = I \cdot \Omega, \text{ onde } I \equiv \text{momentum de inércia}$$



"conservação"
de volume

$$I = \rho_0 \sum_i r_i^2, \text{ onde } i \equiv \text{índice das partículas do fluido}$$

Voltando à relação entre π e η ...

\rightarrow sob $\epsilon, \epsilon_t, \epsilon_s \ll 1, \hat{\beta} \ll 1$

$$\pi = \frac{J+f}{h} = \frac{f_0}{H} + \frac{q}{H} + O(\epsilon^2 \frac{f_0}{H})$$

VORTICIDADE
POTENCIAL
BÁSICA

$$\frac{d\pi}{dt} = \frac{1}{H} \frac{dq}{dt} = 0 \approx \frac{dq}{dt} = 0$$

3. AJUSTAMENTO GEOSTRÓFICO NO OCEANO BAROTRÓPICO

(10)

- Rossby (1938)

- oceano homogêneo, fundo plano, plano f
 $(z = -H)$ $(f = f_0)$

$$\frac{\partial u}{\partial t} - f v = -g \frac{\partial \eta}{\partial x} \quad (6)$$

$$\frac{\partial v}{\partial t} + f u = -g \frac{\partial \eta}{\partial y} \quad (7)$$

$$\frac{\partial \eta}{\partial t} + H \left(\frac{\partial u}{\partial x} + \frac{\partial v}{\partial y} \right) = 0 \quad (8)$$

Tomando a divergência de (6) e (7):

$$\frac{\partial}{\partial t} \left(\frac{\partial u}{\partial x} + \frac{\partial v}{\partial y} \right) - f \left(\frac{\partial v}{\partial x} - \frac{\partial u}{\partial y} \right) + g \left(\frac{\partial^2 \eta}{\partial x^2} + \frac{\partial^2 \eta}{\partial y^2} \right) = 0 \quad (9)$$

Usando (8),

$$\frac{\partial^2 \eta}{\partial t^2} - g H \left(\frac{\partial^2 \eta}{\partial x^2} + \frac{\partial^2 \eta}{\partial y^2} \right) + f H J = 0 \quad (10)$$

Agora tomemos o rotacional de (6) e (7) para obter uma eq da vort. absoluta:

$$\frac{\partial J}{\partial t} + f \left(\frac{\partial u}{\partial x} + \frac{\partial v}{\partial y} \right) = 0 \quad (11)$$

Usando (8) p/ eliminar o termo da div. horizontal

$$\frac{\partial}{\partial t} \left(J + \frac{f}{H} \eta \right) = 0 \quad (12)$$

(12) representa uma anomalia da VP em sua forma linear: de

$$Q = J + \frac{f}{H} \eta \quad (13)$$

Por (12), Q é conservada, logo,

$$Q(x, y, t) = Q(x, y, 0) \quad (14)$$

\rightarrow cond. iniciais

Considerando as seguintes condições iniciais:

$$u=0, v=0$$

$$\eta = \eta_0 \operatorname{sgn}(x)$$

(15)

$$\operatorname{sgn}(x) = \begin{cases} 1, & x > 0 \\ -1, & x < 0 \end{cases}$$

Assim, por (14) e (15):

$$f - \frac{f}{H} \eta = \frac{f}{H} \eta_0 \operatorname{sgn}(x) \quad (16)$$

Usando (16) para eliminar f em (10):

$$\frac{\partial^2 \eta}{\partial t^2} - gH \nabla_H^2 \eta + f^2 \eta = -f^2 \eta_0 \operatorname{sgn}(x) \quad (17)$$

A forma estacionária de (17) é:

$$-gH \frac{\partial^2 \eta}{\partial x^2} + f^2 \eta = -f^2 \eta_0 \operatorname{sgn}(x) \quad (18)$$

onde assumiu-se, por simplicidade, que $\eta = \eta(x)$

(18) é uma eq. diferencial não-homogênea e tem solução.

$$\frac{(18)}{-gH} \rightarrow \frac{\partial^2 \eta}{\partial x^2} - \frac{1}{R_{de}^2} \eta = \frac{1}{R_{de}^2} \eta_0 \operatorname{sgn}(x) \quad (19)$$

A solução é contínua e assimétrica em torno de $x=0$,

$$\frac{\eta}{\eta_0} = \begin{cases} -1 + e^{-x/R_{de}}, & p/x > 0 \\ 1 - e^{x/R_{de}}, & p/x < 0 \end{cases} \quad (20)$$

O campo de velocidade final, já ajustado geostroficamente, é dado por:

$$u = 0$$

$$v = -\frac{g}{f} \eta_0 \left(\frac{1}{R_d} e^{-x/R_d} \right) \quad (21)$$

→ Repare a relação dos valores de η e v com o R_d .

• Se as escalas de x forem muito menores que o R_d , a elevação η irá simplesmente se aplainar, sendo dissipada na forma de ondas de

gravidade. Seria o caso mais estacionário, onde

$\frac{\partial \eta}{\partial t}$ não pode ser considerado.

